

5. Б. С. Ермаков, В. Т. Монахов.— В сб.: Пожаровзрывоопасность веществ и материалов. Вып. 2. М.: ВНИИПО, 1979.
 6. А. С. Соколик. Самовоспламенение, пламя и детонация в газах. М.: Изд-во АН СССР, 1960.
 7. А. И. Розловский, Б. Б. Брандт. Докл. АН СССР 1962, 145, 6.
 8. А. С. Мальцева, А. И. Розловский, Ю. Е. Фролов. ЖВХО им. Д. И. Менделеева, 1974, 19, 5.
-

О ВЛИЯНИИ ТЕПЛОВОГО РЕЖИМА ГОРЕНИЯ НА АЭРОДИНАМИКУ ТУРБУЛЕНТНОГО ВОДОРОДНОГО ФАКЕЛА

Ю. М. Аннушкин, Е. Д. Свердлов

(Москва)

При расчетах аэродинамики диффузионного факела широко используется метод интегральных соотношений теории турбулентных струй [1—3]. При этом предполагается, что процесс горения не оказывает влияния на аэродинамику струи. Так, при анализе затопленных факелов принимается предположение В. С. Авдуевского [2] о том, что границы турбулентной струи с горением прямолинейны и не отличаются от границ струи несжимаемой жидкости. Расчеты с использованием этого предположения показывают, что смешение и, в частности, относительная длина пламени не должна зависеть от скорости истечения газообразного топлива (w_a) и размера сопла (d_a). При горении углеводородных топлив типа метана, пропана в случае малых скоростей истечения из сопла (из-за ограничений по срыву пламени) или при горении низкокалорийных топлив за соплами относительно больших размеров (например, ракетные двигатели) это предположение хорошо подтверждается опытом [4].

Однако для широкого круга задач, связанных с горением газообразного водорода, истекающего из сопел малого размера ($d_a = 0,5 \div 3$ мм), указанное выше предположение оказывается несправедливым. Так, изменение режима горения (w_a, d_a) приводит к существенному изменению закономерностей смешения [5—9]. Вопрос о влиянии теплового режима горения, истечения топлива и размеров сопел на аэродинамику водородного факела потребовал специальных исследований, излагаемых ниже.

Соотношения, получаемые из интегральных уравнений сохранения массы и количества движения струи, распространяющейся в неподвижном окислителе, при задании приближенных профилей c/c_m и w/w_m можно записать в виде

$$c_m \approx \frac{k_0}{\sqrt{\rho_a}} \cdot \frac{\sqrt{\bar{T}_{\max}}}{R_x^0}, \quad (1)$$

$$\bar{w}_m \approx 1,1 c_m, \quad (2)$$

$$R_x^0 = 1 + \varphi x^0 \quad (\varphi = f(Q_{Vx})), \quad (3)$$

$$c \approx c_m [1 - (r^0/R_x^0)^{3/2}]^{3/2}, \quad (4)$$

$$w \approx w_m [1 - (r^0/R_x^0)^{3/2}]^2. \quad (5)$$

Здесь $k_0 \approx 7$ — коэффициент, определяемый из эксперимента (один и тот же для негорящей и горящей струй); $\bar{\rho}_a = \rho_a / \rho_a = R_a T_a / R_n T_n$ — от-

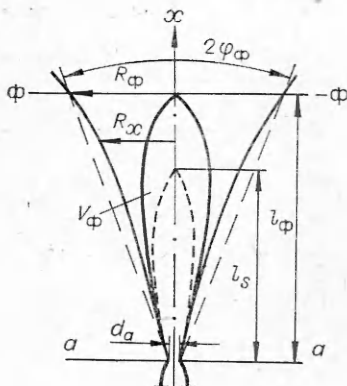


Рис. 1. Схема факела.

носительная плотность наружного окислителя; $\bar{T}_{\max}^* = T_{s\max}^*/T_{s\text{равн}}^*$ — отношение действительной максимальной температуры к теоретической равновесной при стехиометрической концентрации; $c_s = 1/(1 + L_0)$; L_0 — стехиометрический коэффициент истекающего из сопла горячего газа; c_m и w_m — концентрация и скорость на оси струи; \bar{w}_m — скорость на оси, отнесенная к скорости истечения из сопла; $r^0 = r/r_a$ — текущее значение относительного радиуса; $R_x^0 = R_x/r_a$ — относительный радиус границы струи; φ — среднее значение углового коэффициента границы струи на участке $a - x$ (рис. 1); $x^0 = x/r_a$ — относительная продольная координата;

Q_{vz} — коэффициент, характеризующий удельную (на единицу объема тепловую нагрузку в факеле (в сечении x). Параметр $Q_{v\Phi}$, предложенный авторами для анализа, пропорционален отношению теплопроизводительности факела $\dot{Q}_\Phi = H_u \rho_a F_a \eta_\Phi$ к объему факела $V_\Phi \sim a^2 l_\Phi$ и определяется соотношением

$$Q_\Phi/V_\Phi \sim Q_{v\Phi} = H_u \rho_a / l_\Phi \cdot w_a / d_a \cdot \eta_\Phi. \quad (6)$$

Здесь $\rho_a = p_a/R_a T_a$ — плотность газа в начальном сечении смешения; H_u — теплотворная способность топлива; η_Φ — полнота сгорания в конце факела.

При диффузионном горении газов $\eta_\Phi = 1$, в отсутствии горения $\eta_\Phi = 0$, а для произвольного сечения факела $\bar{x} < \bar{l}_\Phi$ условно можно положить (для расчета R_x^0), что $Q_{vz} \approx Q_{v\Phi} \eta_\Phi$.

Полнота сгорания водорода в произвольном сечении факела может быть определена, например, по обобщенной зависимости работы [8]

$$\eta_x \approx \sqrt{\bar{x}/\bar{l}_\Phi}. \quad (7)$$

Относительная длина факела пламени ($\bar{l}_\Phi = l_\Phi/d_a$, определяемая визуально или фотографированием и совпадающая с точностью $\pm 5\%$ с длиной выгорания топлива на оси струи $\bar{l}_{\eta_m=1}$), находится из соотношения

$$\bar{l}_\Phi \approx \frac{1}{2\varphi} \left[\frac{k_m}{1 - k_m} \cdot \frac{1 + L_0}{\sqrt{\bar{\rho}_a}} \sqrt{\bar{T}_{\max}^*} - 1 \right], \quad (8)$$

где k_m — коэффициент, характеризующий степень незавершенности процесса горения в сечении \bar{l}_s , где на оси реализуется стехиометрический состав. Для водорода экспериментальная величина $k_m \approx 1 - l_s/l_\Phi \approx 0,3$. При этом $l_s/l_\Phi \approx 0,7$ соответствовало такой же величине для углеводородных факелов [6]. Экспериментальные исследования, в основном, были направлены на выяснение влияния величины Q_v на границы струи с горением и на длину факела. Предварительные исследования показали, что при нормальных условиях ($p_a = 100$ кПа, $T_a = T_b = 300$ К) максимальные значения Q_v , ограниченные срывом пламени, для углеводородных топлив на порядок и более уступают соответствующей величине для водородных факелов. По этой причине все основные закономерности получены с применением водорода.

В экспериментах границы струи определялись двумя способами: фотографированием с помощью прибора ИАБ-451 и по химическому анализу проб газов (за границы струи принималась поверхность, на которой $c/c_m \approx 0,01$). Внутри границ струи находился химический состав газов

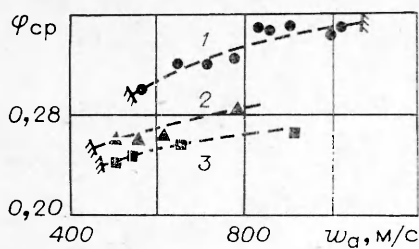


Рис. 2. Влияние скорости истечения струи водорода на величину ϕ_f (ограничения слева по величине чисел Re и Ar , справа — по срыву пла- мени).

d_a , мм: 1 — 0,55, 2 — 1, 3 — 2.

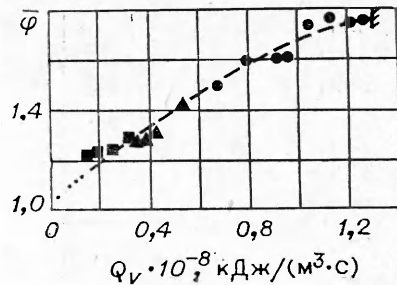


Рис. 3. Обобщение опытных данных (обозначения точек см. на рис. 2, кривая — аппроксимация по (9)).

на оси и в нескольких сечениях факела (с анализом проб на хроматографе ХЛ-69). Проводились измерения полей температур (термопары платина — платинородий, запись на потенциометре ЭПП-09).

С целью исключения влияния подъемных сил и ламинарного основания факела на аэродинамику турбулентного факела режимы и диаметры сопел выбирались в соответствии с рекомендациями работы [3]: числа Архимеда и Рейнольдса составляли >4000 .

Экспериментальные исследования показали, что с увеличением w_a и с уменьшением d_a наблюдается увеличение среднего на длине факела углового коэффициента ($\phi_f = (R_\phi^0 - 1)/l_\phi^0$) (рис. 2), причем границы струи на длине факела не прямолинейны, а прогрессивно расширяются к его концу. Зависимость $\phi = f(w_a, d_a)$ обобщается с помощью параметра Q_v (рис. 3) соотношением

$$\bar{\phi} = \phi/\phi_0 = 1 + (k_2 \cdot Q_v)^{2/3}, \quad (9)$$

где $k_2 = 0,54 \cdot 10^{-8}$ м³ · с/кДж, а $\phi_0 = 0,2$.

Для расчета длины факела по (8) коэффициент ϕ определяется из (9) с $\eta_\phi = 1$, а для определения закономерностей смешения по соотношениям (1)–(5) при $x < l_\phi$ (на основном участке) текущая граница струи (3) может быть определена из (9) при текущем ϕ_x (с учетом (7)) по зависимостям:

$$Q_{vx} = \frac{H_u \rho_a}{l_\phi} \frac{w_a}{d_a} \sqrt{\frac{x}{l_\phi}},$$

$$\phi_x = \phi_0 [1 + (k_2 Q_{vx})^{2/3}],$$

$$R_x^0 = 1 + \phi_x x^0. \quad (10)$$

Вследствие увеличения R_x^0 и ϕ_x по длине факела (при $\partial\phi/\partial x > 0$) у струи водорода с горением в отличие от негорящей струи водорода к концу факела наблюдается более быстрое смешение, но по сравнению с негорящей струей затянутое из-за теплоотвода (рис. 4).

С увеличением теплонапряженности факела $Q_{v\phi}$ происходит увеличение максимальной температуры T_{smax}^* в зоне горения примерно по экспоненциальному закону (рис. 5). Рост T_{smax}^* связан, по-видимому, с уменьшением относительной доли радиационных потерь из факела при повышении его теплонапряженности. В соответствии с (8) для водорода при $\rho_a = 14,5$ ($T_a = T_n$) с увеличением Q_v происходит уменьшение l_ϕ и \bar{l}_s , главным образом, за счет роста ϕ (см. рис. 3) и R_ϕ^0 .

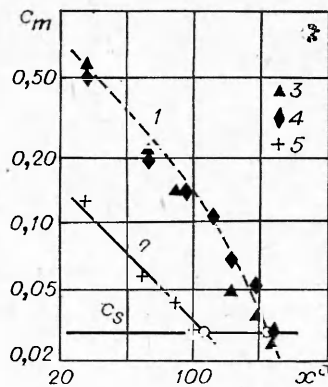


Рис. 4. Концентрация водорода на оси.

1, 2 — расчет (2 — без горения при $\varphi = \varphi_0 = 0,2$, $\rho_a = 14,5$); 3 — эксперимент ($3 - d_a = 1\text{мм}$, $4 - d_a = 3\text{ мм}$, $Q_V = (0,2 \div 0,35) \cdot 10^8 \text{ кДж}/(\text{м}^3 \cdot \text{с})$).

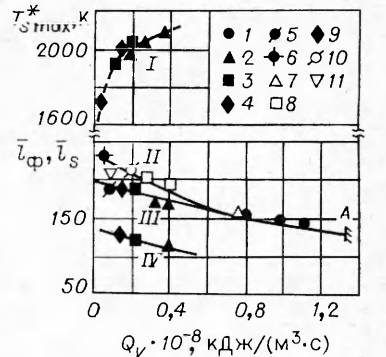


Рис. 5. Влияние теплонапряженности факела на величины $T_{s \max}^*$.

d_a , мм: 1 — 0,55, 2, 7 — 1, 3, 8 — 2, 4, 9 — 3, 5, 10 — 4, 6 — 8, 11 — 10; 7 — 10 — обработка опытов [10].

Расчет: I — $T_{s \max}^*$, II — \bar{l}_Φ при $\bar{T}_{s \max}^* = 1$, III — \bar{l}_Φ при $\bar{T}_{s \max}^* = f(Q_V)$, IV — \bar{l}_s , A — срыв пламени.

Итак, исследования показали, что в случае большой теплонапряженности ($Q_V > 10^7 \text{ кДж}/(\text{м}^3 \cdot \text{с})$) наблюдается существенное влияние теплового режима на закономерности развития факела. Оно присуще, главным образом, водороду, для которого величина Q_V может быть большой. При геометрическом моделировании конструкции горелочных устройств, работающих на водороде, следует иметь в виду возможное существенное различие в аэродинамике и термодинамике факелов натуры и модели из-за различия в величине Q_V .

Поступила в редакцию
4/VII 1980

ЛИТЕРАТУРА

- Г. Н. Абрамович. Теория турбулентных струй. М.: Физматгиз, 1960.
- Г. Н. Абрамович и др. Турбулентные течения при воздействии объемных сил и неавтомодельности. М.: Машиностроение, 1975.
- Ю. М. Аннушкин. Тр. ЦИАМ, № 857, 1979.
- Ю. М. Аннушкин, В. А. Сосунов. ФГВ, 1970, 6, 4.
- П. Крещег. VDI Berichte, 1966, 95.
- В. Л. Зимонт и др. Тр. четвертых чтений, посвященных Ф. А. Цендеру. М.: Изд-во АН СССР, 1978.
- G. A. Lavoie, A. F. Schlader. Comb. Sci. Techn., 1974, 8, 215.
- В. К. Баев и др. ФГВ, 1974, 10, 4.
- R. W., Bilger, R. E. Beck. Charles Kolling Research Laboratory Techn. Note F-67. University of Sydney, 1974.
- М. Г. Кталхерман и др. ФГВ, 1974, 10, 5.